

## 海棲哺乳類の放射性核種について

善家久隆, 國頭恭<sup>\*1</sup>, 池本徳孝<sup>\*2</sup>, 田辺信介<sup>\*2</sup>, 武田尚彦, 宮崎信之<sup>\*3</sup>

### The radionuclides in marine mammals

Hisataka ZENKE, Takashi KUNITO<sup>\*1</sup>, Tokutaka IKEMOTO<sup>\*2</sup>, Shinsuke TANABE<sup>\*2</sup>  
Naohiko TAKEDA, Nobuyuki MIYAZAKI<sup>\*3</sup>

Concentrations of radionuclides with gamma ray emission was measured in the muscle of marine mammals collected from the various locations all over the world, and the global distribution of <sup>137</sup>Cs was investigated in these animals. <sup>40</sup>K was detected in all the specimens of marine mammals, and the apparent variation of the <sup>40</sup>K level was not observed with respect to location, species, sex, and age.

An anthropogenic radionuclide, <sup>137</sup>Cs, was detected in most of the species of marine mammals. The <sup>137</sup>Cs concentration was highest in the Lake Baikal in the world, secondly in the Black Sea, and it decreased as sampling points were towards south among the locations studied. Accumulation of <sup>137</sup>Cs was also characterized with respect to species, sex and age in the muscle of marine mammals from Lake Baikal and the Black Sea with the highest concentration of <sup>137</sup>Cs in the muscle.

**Keywords :**anthropogenic radionuclide, <sup>137</sup>Cs, <sup>40</sup>K, marine mammals

### はじめに

環境中には、自然放射性核種と人工放射性核種があり、前者は地球起源時代から主に地殻中に存在しており、1900年代の前半までは地球上には、これら自然放射性核種のみであった。しかし、現在では過去に行われた核実験や原発事故等により生成した人工放射性核種がフォールアウトとして広く分布している。これらフォールアウトは、食物を通して生体中に取り入れられ放射線被曝の原因となる。人工放射性核種の分布状況については、 Chernobyl 原発事故等に関連したものや、イギリスやグリーンランド周辺海域の海棲哺乳類の地域的な報告があるが、地球規模的な分布については報告が少ない。このため本研究では、世界各地で捕獲された海棲哺乳類を対象として放射性核種の地球規模的な分布状況を調査した。また、放射性核種の種間差や年齢や性に関する蓄積特性等についても調査したので報告する。

### 調査方法

#### 1. 測定試料

海棲哺乳類の筋肉計 86 検体を調査対象とした。

#### 1) 放射性核種の地球規模的な分布状況

1981 年から 2000 年の間に 10 地域(日本三陸沖、フィリピン、カナダのパンナタン、インド、モーリシャス、南極、バイカル湖、黒海、カラ海、カスピ海)で捕獲された 10 種類(キタオットセイ、イシイルカ、サラワクイルカ、ワモンアザラシ、ハシナガイルカ、コブハクジラ、ウエッデルアザラシ、バイカルアザラシ、ネズミイルカ、カスピカイアザラシ)の海棲哺乳類の筋肉計 47 検体を調査対象とし地球規模的な分布状況の解析のための試料とした。

#### 2) 詳細調査

(1)の試料で筋肉中の <sup>137</sup>Cs が高濃度であったバイカル湖と黒海の海棲哺乳類について分析検体を増やし試料とした。1992 年から 1993 年の間に黒海で捕獲したネズミイルカ 20 検体(オス : 11 検体、メス : 9 検体)及び 1992 年にバイカル湖で捕獲したバイカルアザラシ 29 検体(オス : 18 検体、メス : 11 検体)計 49 検体の筋肉試料を分析に供した。

愛媛県立衛生環境研究所 松山市三番町 8 丁目 234 番地

\*1 信州大学理学部, \*2 愛媛大学沿岸環境科学研究中心, \*3 東京大学海洋研究所

## 2. 測定方法

試料約40～150gを精秤して磁製皿に移し、乾燥機で乾燥(105°C)後ガスコンロで加熱し可燃ガスがほとんど出なくなるまで炭化後、電気炉で灰化(450°Cで24時間)した。灰化した試料は粉碎し、プラスチック製の測定容器(Φ51mm×h 62mm)に圧縮しながら充填、密閉後重量を測定して定量用試料とした。

測定は、高純度Ge半導体検出器(オルテック社製GEM-40180他)を用いてエネルギー範囲50keV～2,000keVのガンマ線スペクトルを測定した。また、測定結果については捕獲日の値にするため減衰補正を行った。

$$A_0 = A / e^{-\lambda t}$$

$A_0$ ：捕獲日の値に減衰補正した放射能

$A$ ：今回測定した放射能

$t$ ：捕獲日から測定日までの経過時間

$\lambda$ ：壊変定数

なお、試料の放射能測定値が $A \pm \Delta A$ のとき、 $A < 3\Delta A$ の場合は検出限界値以下(ND)とし、平均値を計算するとき検出限界値以下の値を扱うときは、検出限界値の1/2とした。

## 調査結果及び考察

### 1. 放射性核種の地球規模的な分布状況

放射性核種としては $^{40}\text{K}$ と $^{137}\text{Cs}$ が検出された(スペクトルの例:図1)。このうち $^{40}\text{K}$ は47検体全てから56～126Bq/Kg・wetの範囲で検出され、地域差はほとんどみられなかった(図2)。これは、 $^{40}\text{K}$ が自然放射性核種であり、生体内における $^{40}\text{K}$ の存在比がKに対して0.0118%と一定していること及びKがミネラルとして必須成分であることから一定の範囲に濃度維持されていることによる。一方、人工放射性核種としては30検体から $^{137}\text{Cs}$ のみが検出された。これは人工放射性核種としての起源は過去の大気圏核爆発や Chernobyl の原発事故等によると考えられるが、今回の試料の捕獲日が既にこれらの起源から相当年数が経過しているため、半減期が長い $^{137}\text{Cs}$ (30.07yr)のみが検出されたこと及び $^{137}\text{Cs}$ は生体内では筋肉に蓄積しやすい<sup>1)</sup>ことなどによると思われる。

$^{137}\text{Cs}$ の分布(図3)をみると、北半球ではバイカル湖が最も高濃度であり、次いで黒海が高く、カスピ海とカラ海がこれに続いており、インドを除いてカナダのバンクーバー、日本近海、フィリピンでも検出された。イギリスのネズミイルカの濃度<sup>2)</sup>(筋肉: 6.9Bq/Kg・wet)は黒海の濃度とほぼ同等であった。検体数は少ないが、南半球では、モーリシャスで検出されており、人工放射性核種が広く世界的規模で拡散、分布していることが窺われる。この結果は、Livingston and Povinec<sup>3)</sup>の報告するところによると、バルト海や黒海の海水中の $^{137}\text{Cs}$ 濃度は主として Chernobyl の原発事故によるものであり南下するほど低減するという見解を支持している。

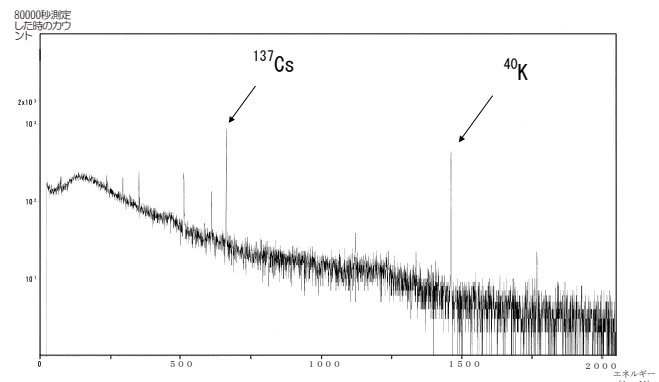


図1 バイカルアザラシのスペクトル(例)

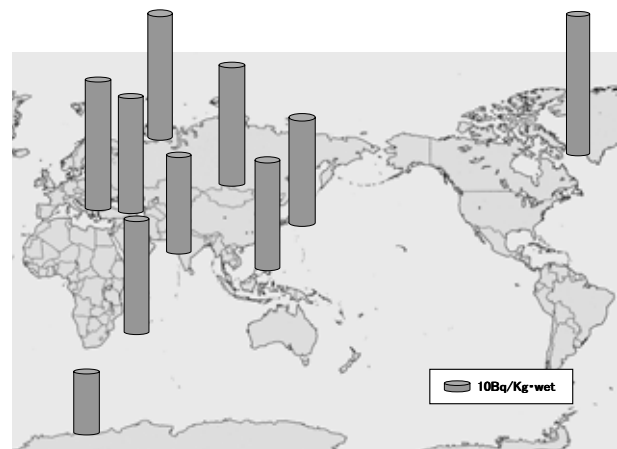


図2 海棲哺乳類中の $^{40}\text{K}$ 濃度の分布状況

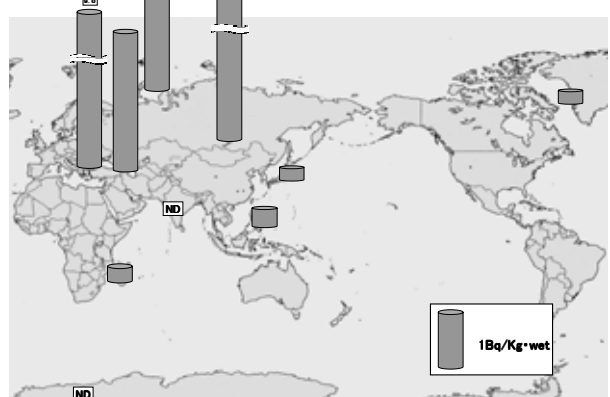


図3 海棲哺乳類中の $^{137}\text{Cs}$ 濃度の分布状況

### 2. 詳細調査

$^{137}\text{Cs}$ が高濃度であったバイカル湖と黒海の海棲哺乳類についてすべての試料から、 $^{40}\text{K}$ と $^{137}\text{Cs}$ が検出された。

#### 1) $^{40}\text{K}$ 濃度について

a) ネズミイルカとバイカルアザラシから検出された筋肉中の $^{40}\text{K}$ 濃度

$^{40}\text{K}$ はネズミイルカとバイカルアザラシから57～124Bq/Kg・wetの範囲で検出された。表1のネズミイルカとバイカルアザラシの $^{40}\text{K}$ はネズミイルカで平均88.6Bq/kg・wet、バイカルアザラシは92.4Bq/kg・wet、

表1 ネズミイルカとバイカルアザラシから検出された筋肉中の<sup>40</sup>K濃度

	ネズミイルカ	バイカルアザラシ
n数	20	29
平均値 (Bq/Kg・wet)	88.6	92.4
標準偏差	9.82	9.45
T検定	T=1.338<2.012(t=47, 0.05)	

表2 ネズミイルカから検出された筋肉中の性別<sup>40</sup>K濃度

	オス	メス
n数	11	9
平均値 (Bq/Kg・wet)	91.2	85.5
標準偏差	2	4.14
T検定	T=1.316<2.101(t=18, 0.05)	

表3 バイカルアザラシから検出された筋肉中の性別<sup>40</sup>K濃度

	オス	メス
n数	18	11
平均値 (Bq/Kg・wet)	89.9	96.5
標準偏差	6.46	12.2
T検定	T=1.921<2.025(t=27, 0.05)	

で種間差は認められなかった。表2のネズミイルカの<sup>40</sup>K濃度レベルの性差については、オスの平均は91.2 Bq/kg・wet、メスの平均は85.5Bq/kg・wetで性差は認められなかった。表3のバイカルアザラシの<sup>40</sup>K濃度レベルの性差については、オスの平均は89.9Bq/kg・wet、メスの平均は96.5Bq/kg・wetで性差は認められなかった。

#### b) ネズミイルカとバイカルアザラシの性別の年齢と<sup>40</sup>Kの関係

表4のネズミイルカとバイカルアザラシの性別の年齢と<sup>40</sup>Kの関係を見るといずれも相関がみられなかった。

表4 ネズミイルカとバイカルアザラシの年齢と<sup>40</sup>Kの関係

	相関係数	有意確率(P)
ネズミイルカ(オス)	-0.390	0.236
ネズミイルカ(メス)	0.437	0.240
バイカルアザラシ(オス)	-0.156	0.537
バイカルアザラシ(メス)	-0.123	0.719

#### c) ネズミイルカとバイカルアザラシから検出された筋肉中の<sup>40</sup>K濃度

ネズミイルカとバイカルアザラシから検出された筋肉中の<sup>40</sup>K濃度は、種、性、年齢差はみられなかった。これは、Kがミネラルとして必須成分であること、<sup>40</sup>Kが自然放射性核種であり、生体内における<sup>40</sup>Kの存在比がKに対して0.0118%と一定しているためと考えられる。

#### 2) <sup>137</sup>Cs濃度について

##### a) ネズミイルカとバイカルアザラシから検出された筋肉中の<sup>137</sup>Cs濃度

表5のネズミイルカとバイカルアザラシから検出された筋肉中の<sup>137</sup>Csの濃度レベルを比較すると、ネズミイルカは平均 8.55Bq/kg・wet、バイカルアザラシ 16.9

表5 ネズミイルカとバイカルアザラシから検出された筋肉中の<sup>137</sup>Cs濃度

	ネズミイルカ	バイカルアザラシ
n数	20	29
平均値 (Bq/Kg・wet)	8.55	16.9
標準偏差	2.58	5.69
T検定	T=6.131>2.012(t=47, 0.05)	

表6 ネズミイルカから検出された筋肉中の性別<sup>137</sup>Cs濃度

	オス	メス
n数	11	9
平均値 (Bq/Kg・wet)	8.74	8.30
標準偏差	2.51	2.79
T検定	T=0.373<2.101(t=18, 0.05)	

表7 バイカルアザラシから検出された筋肉中の性別<sup>137</sup>Cs濃度

	オス	メス
n数	18	11
平均値 (Bq/Kg・wet)	16.3	17.8
標準偏差	5.93	5.41
T検定	T=0.675<2.025(t=27, 0.05)	

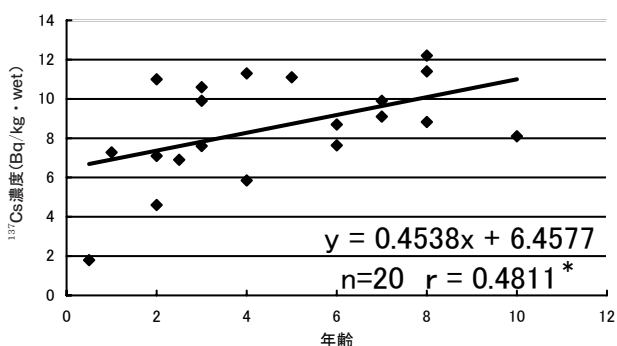
Bq/kg・wet検出された危険率5%でバイカルアザラシの方が有意に高く検出された。この原因として、バイカル湖は淡水であるため<sup>137</sup>Csはアザラシの餌生物である魚へ取り込まれやすいと考えられ、このことは笠松らの研究でも指摘されている。<sup>4)</sup>

#### b) ネズミイルカとバイカルアザラシの性別<sup>137</sup>Cs濃度

表6のネズミイルカから検出された筋肉中の性別<sup>137</sup>Cs濃度と表7のバイカルアザラシから検出された筋肉中の性別<sup>137</sup>Cs濃度については、性差はみられなかった。

#### c) ネズミイルカの筋肉中の<sup>137</sup>Cs濃度と年齢の関係

図4のネズミイルカの筋肉中の<sup>137</sup>Cs濃度と年齢の関係は危険率5%で正の相関がみられた。

図4 ネズミイルカの筋肉中の<sup>137</sup>Cs濃度と年齢との関係

#### d) ネズミイルカのオスの筋肉中の<sup>137</sup>Cs濃度と年齢の関係

図5のネズミイルカのオスの筋肉中の<sup>137</sup>Cs濃度と年齢の関係は危険率5%で正の相関がみられた。

#### e) バイカルアザラシのオスの筋肉中の<sup>137</sup>Cs濃度と年齢の関係

図6のバイカルアザラシのオスの筋肉中の<sup>137</sup>Cs濃度と

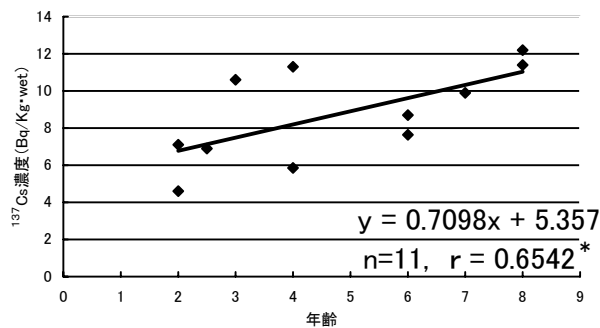


図5 ネズミイルカ(オス)の筋肉中の $^{137}\text{Cs}$ 濃度と年齢との関係

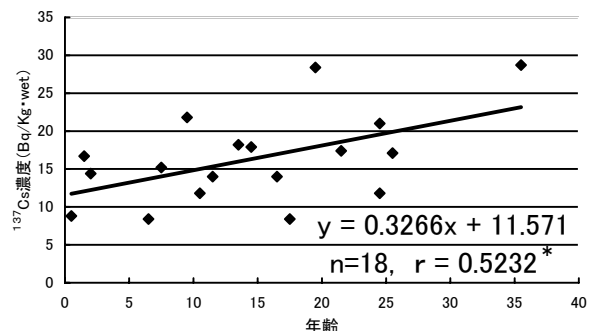


図6 バイカルアザラシ(オス)の筋肉中の $^{137}\text{Cs}$ 濃度と年齢との関係

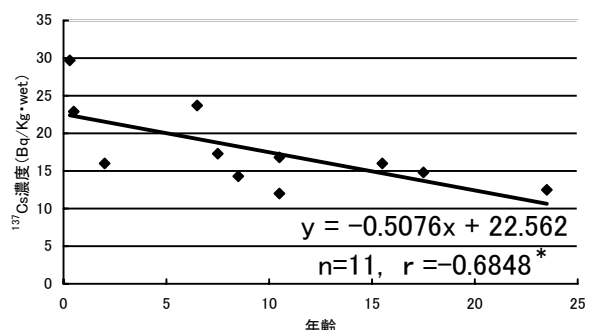


図7 バイカルアザラシ(メス)の筋肉中の $^{137}\text{Cs}$ 濃度と年齢との関係

年齢の関係については、いずれも危険率5%で正の相関がみられた。

f) バイカルアザラシのメスの筋肉中の $^{137}\text{Cs}$ 濃度と年齢の関係

図7のバイカルアザラシのメスの筋肉中の $^{137}\text{Cs}$ 濃度と年齢の関係については、危険率5%で負の相関がみられた。

g) ネズミイルカのメスの筋肉中の $^{137}\text{Cs}$ 濃度と体長との関係

図8のネズミイルカのメスの筋肉中の $^{137}\text{Cs}$ 濃度と体長との関係については、危険率1%で正の相関がみられた。

h) バイカルアザラシのメスの筋肉中の $^{137}\text{Cs}$ 濃度と体長との関係

図9のバイカルアザラシのメスの筋肉中の $^{137}\text{Cs}$ 濃度と体長との関係については、危険率5%で負の相関がみられた。

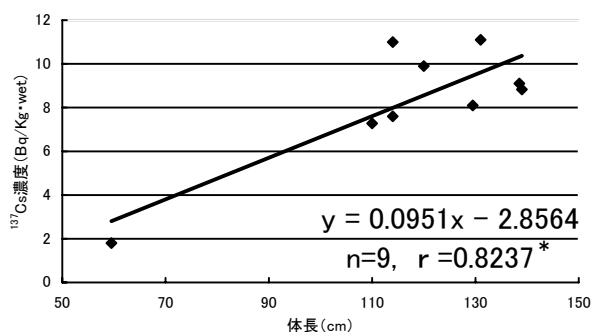


図8 ネズミイルカ(メス)の筋肉中の $^{137}\text{Cs}$ 濃度と体長との関係

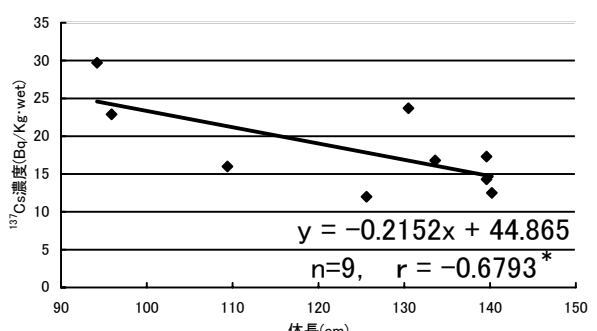


図9 バイカルアザラシ(メス)の筋肉中の $^{137}\text{Cs}$ 濃度と体長との関係

### i) 筋肉中の $^{137}\text{Cs}$ 濃度と年齢の関係

ネズミイルカの年齢幅が0.5~10歳と狭いものの、加齢とともに筋肉中 $^{137}\text{Cs}$ レベルの増加がみられその濃縮が示唆されたことは、イギリス沿岸部のネズミイルカ等で報告された結果<sup>2)</sup>と同様であった。

しかし、バイカルアザラシのメスは異なる結果を示した。この原因は不明であるが、バイカルアザラシは、雌雄で摂餌量が異なるとの報告<sup>5)</sup>もあり、雌雄差の一要因と推察された。

### まとめ

海棲哺乳類中の $^{40}\text{K}$ 濃度は、種、性、年齢差はみられなかった。これは、Kがミネラルとして必須成分であること、 $^{40}\text{K}$ が自然放射性核種であり、生体内における $^{40}\text{K}$ の存在比がKに対して0.0118%と一定しているためと考えられる。

核実験や原発事故等により放出された人工放射性核種の $^{137}\text{Cs}$ が海棲哺乳類中に地球規模で分布していることが判明した。 $^{137}\text{Cs}$ 濃度は、バイカル湖のバイカルアザラシが最も高濃度であり、次いで黒海のネズミイルカ等旧ソ連圏において高かったが、カナダ、フィリピン、日本でも検出され、広く北半球に分布していることが判明した。なお、南半球では、南アフリカで検出されたが、南極の海棲哺乳類からは、人工放射性核種は検出されなかつた。

また、ネズミイルカのオス及びバイカルアザラシのオスでは高齢な個体ほど筋肉中の $^{137}\text{Cs}$ 濃度が高く、バイ

カルアザラシのメスでは高齢な個体ほど<sup>137</sup>Cs濃度が低かった。人工放射性核種の濃度は、アザラシの種や年齢等によって変動することが示唆され、生物を指標にした広域モニタリングでは、こうした要因を事前に検討する必要があることを示している。

## 文 献

1) 佐伯誠道:環境放射能－挙動・生物濃縮・人体被曝

線量評価－ ,285 - 287(1984) .

- 2) Watson. t al:The Science of the Total Environment 234,1-13(1999)
- 3 ) Livingston and Povinec:Ocean & Coastal Management 43,689-712(2000)
- 4) 笠松不二男:Radioisotopes, 48,266-282(1999) .
- 5 ) Watanabe et al:Arch. Environ. Contam. Toxicol. 35,518-526(1998) .